

FIG. 1

264/029 1 of 19

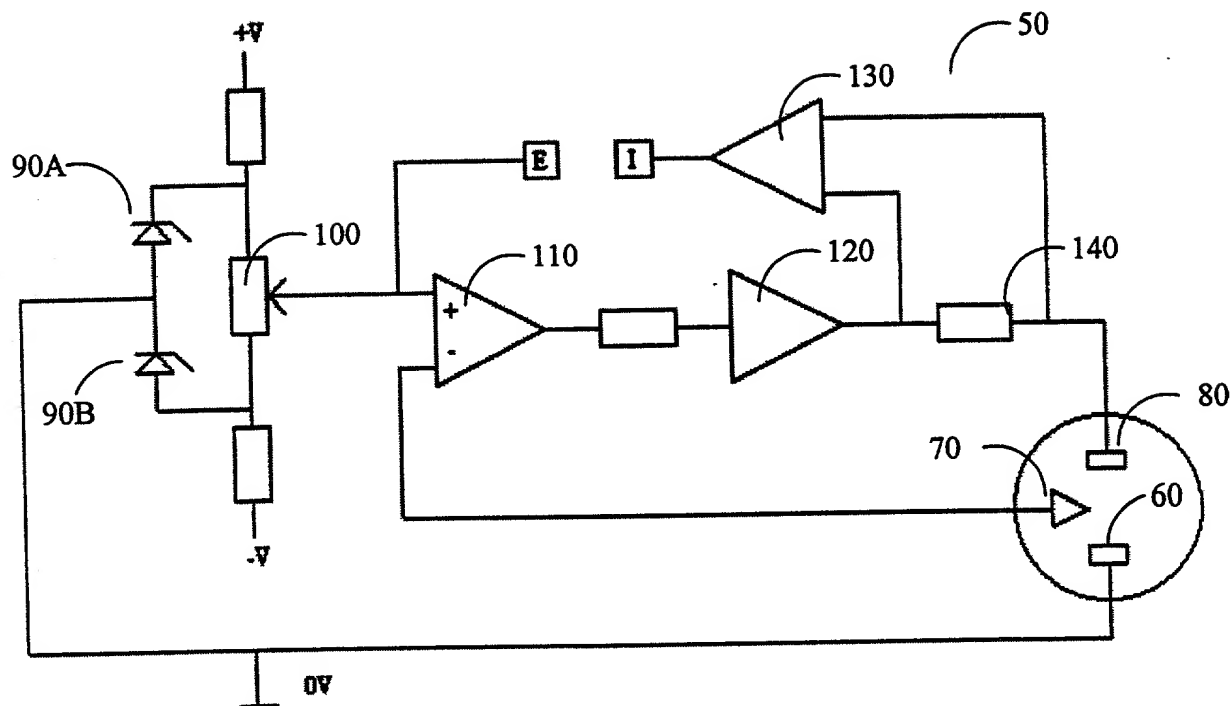
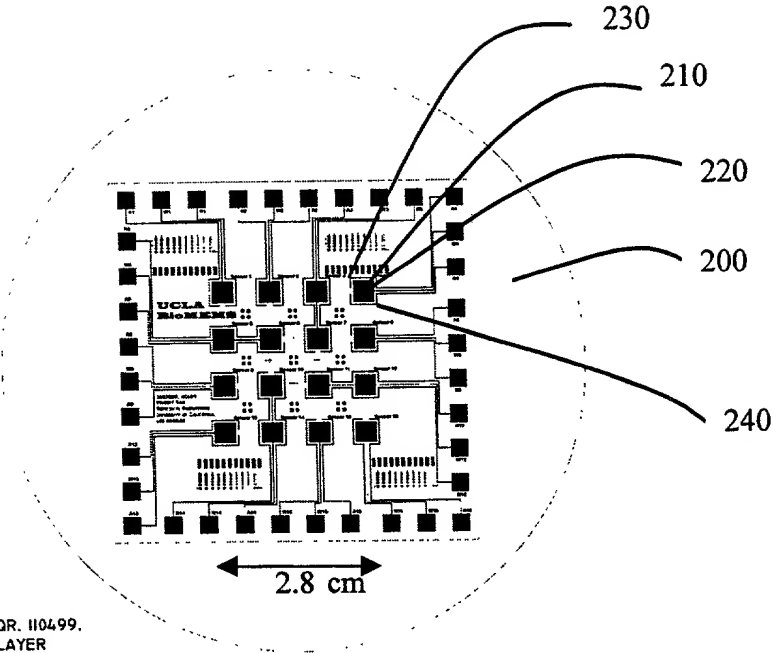


FIG. 2

Fig. 3



3600SQR. 110499.  
GOLD LAYER

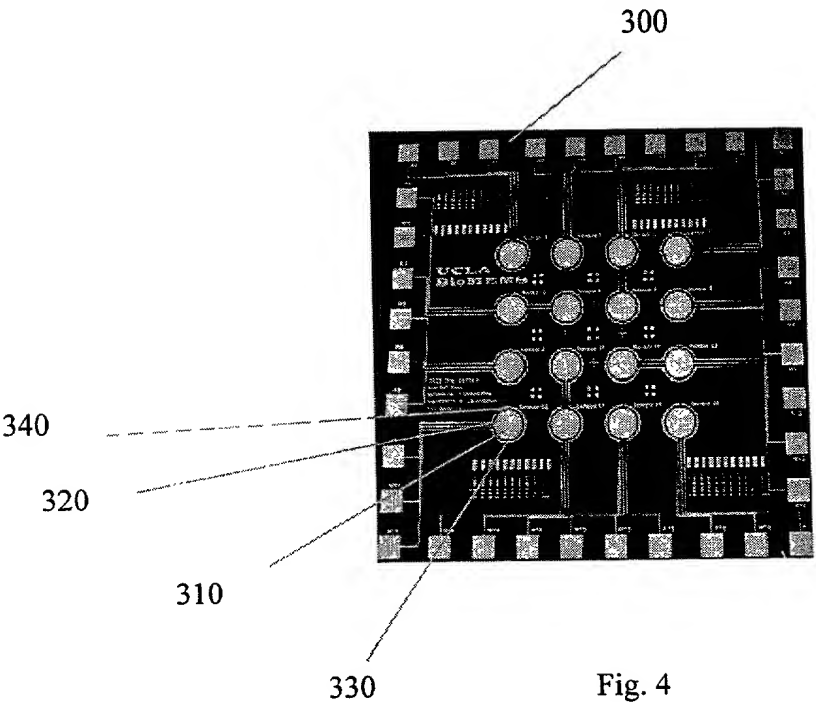


Fig. 4

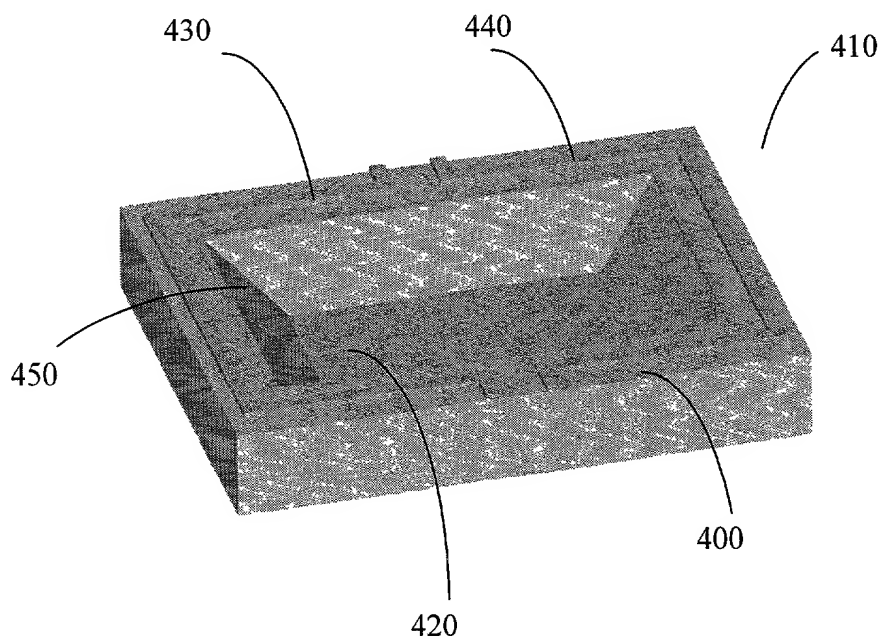


Fig. 5

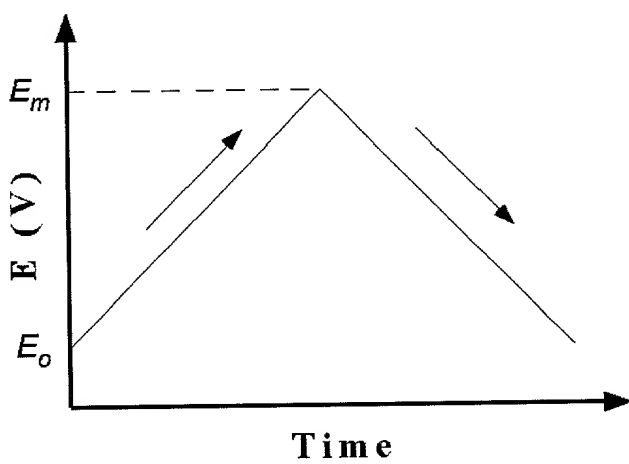


Fig. 6

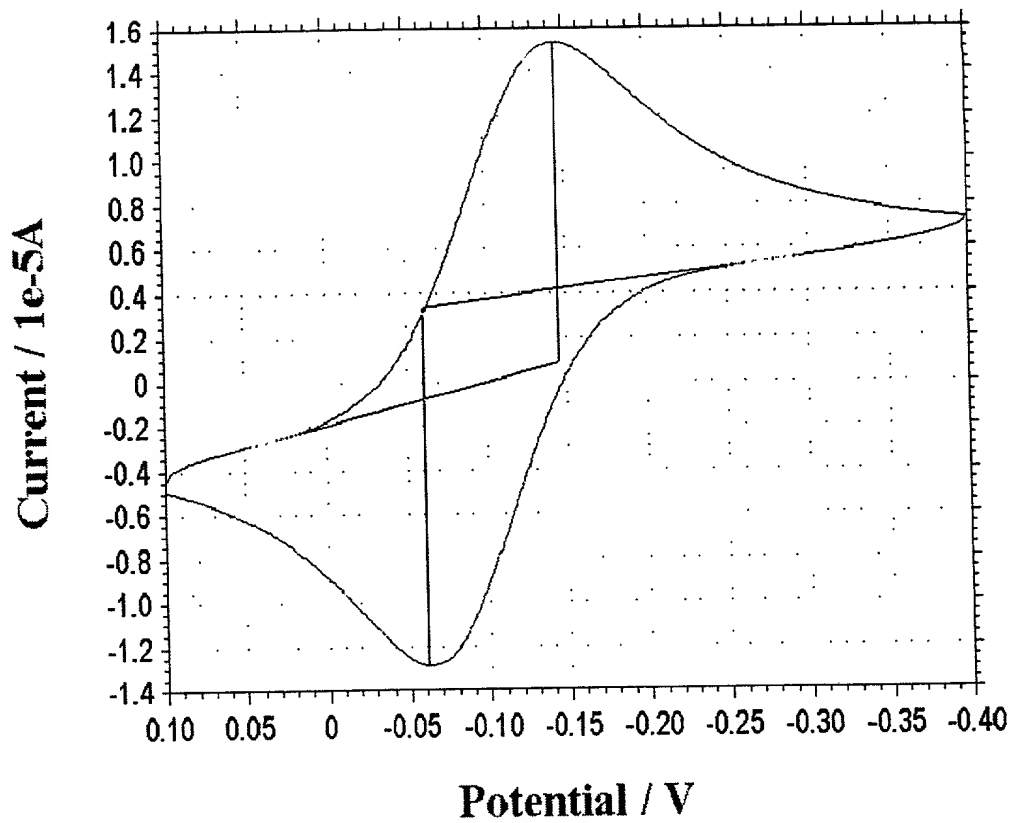


Fig. 7

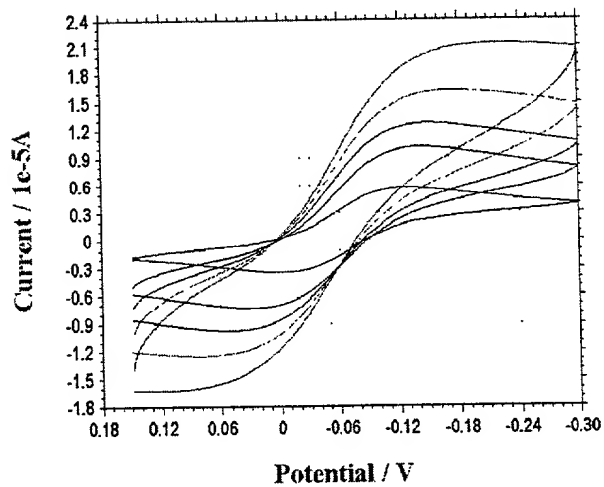


Fig. 8

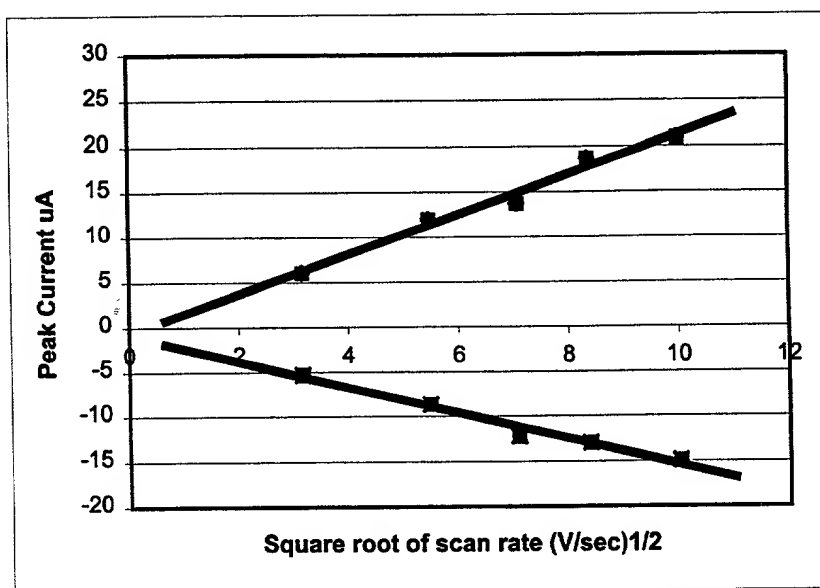


Fig. 9

Page 7 of 19

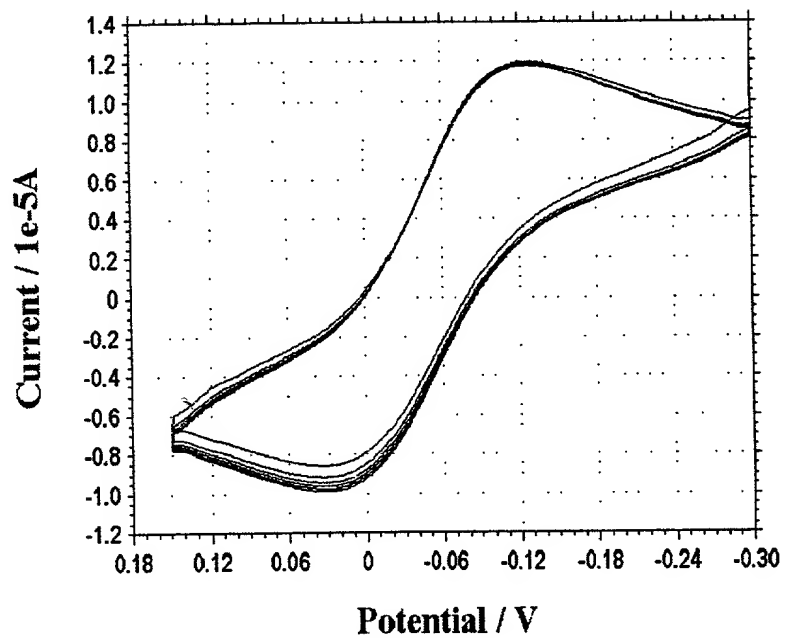


Fig. 10

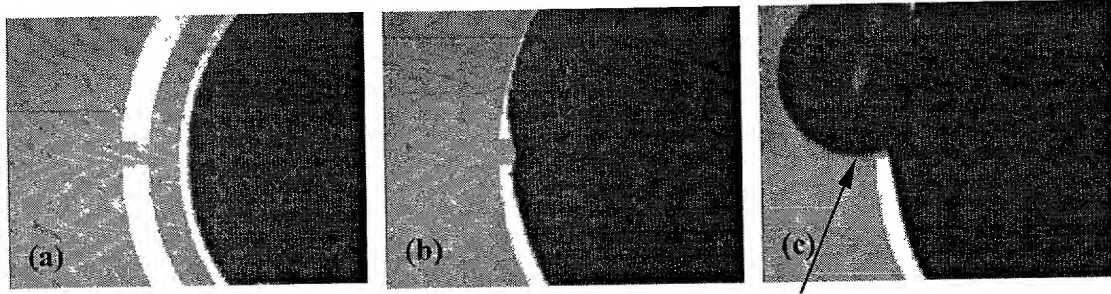


Fig. 11

465

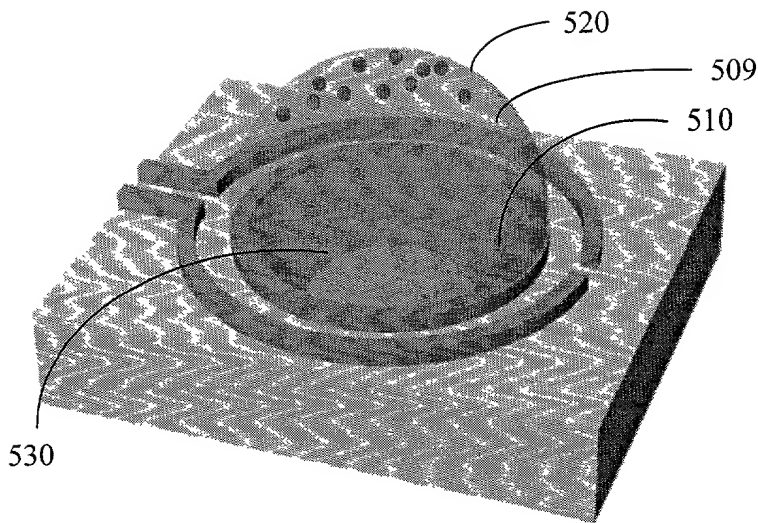


Fig. 12

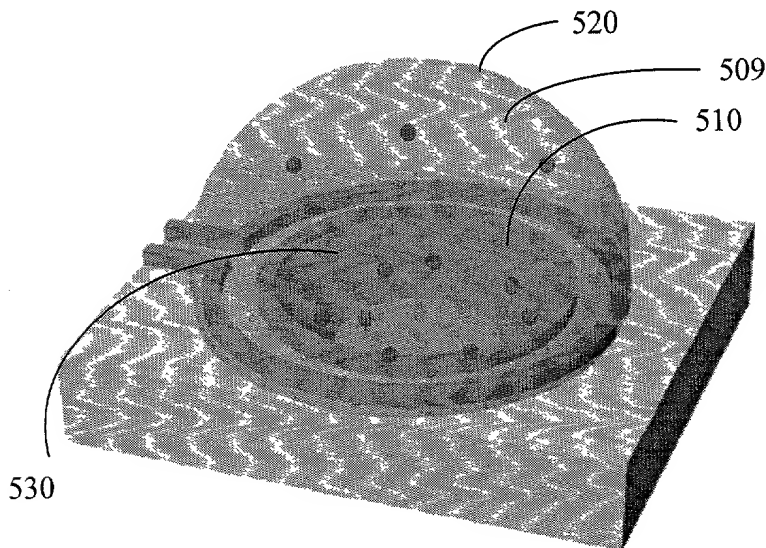


Fig. 13



Page 9 of 19

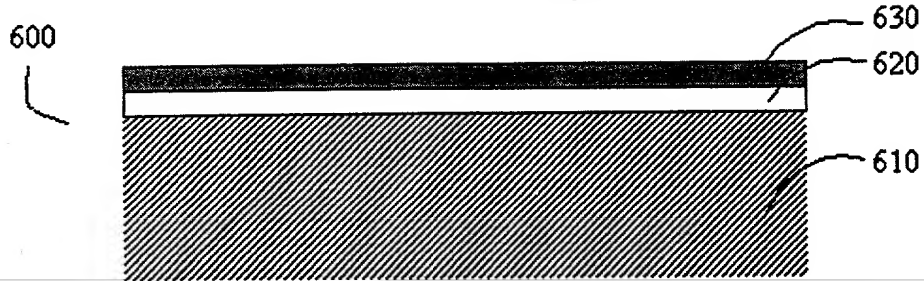


Fig. 14

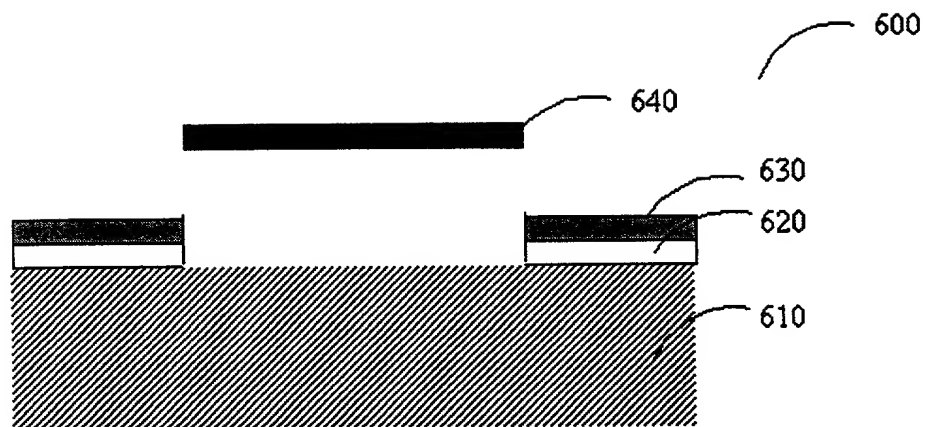


Fig. 15

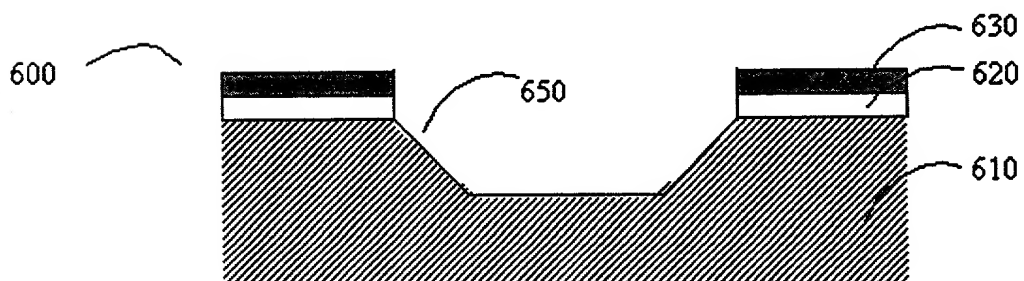


Fig. 16

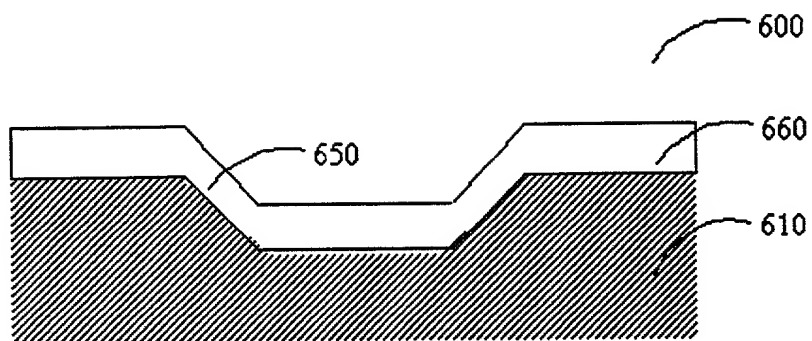


Fig. 17

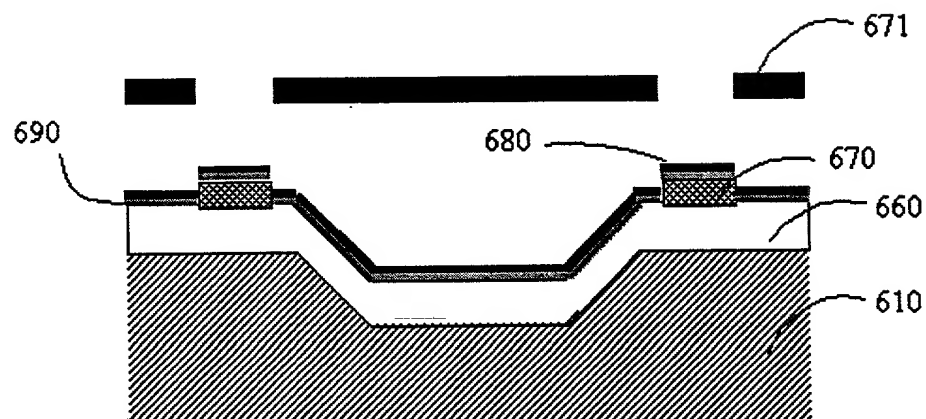


Fig. 18

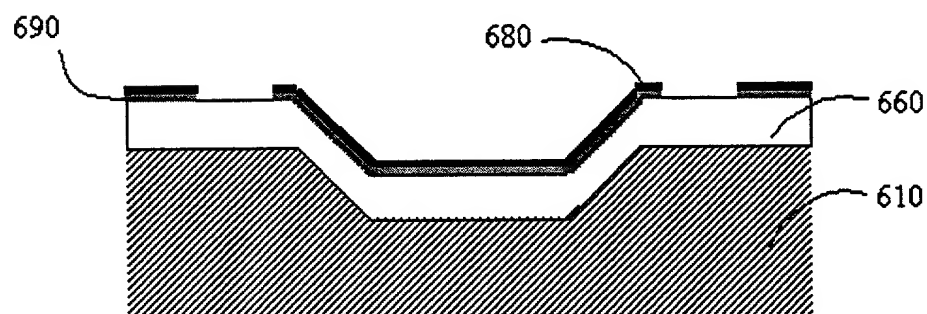


Fig. 19

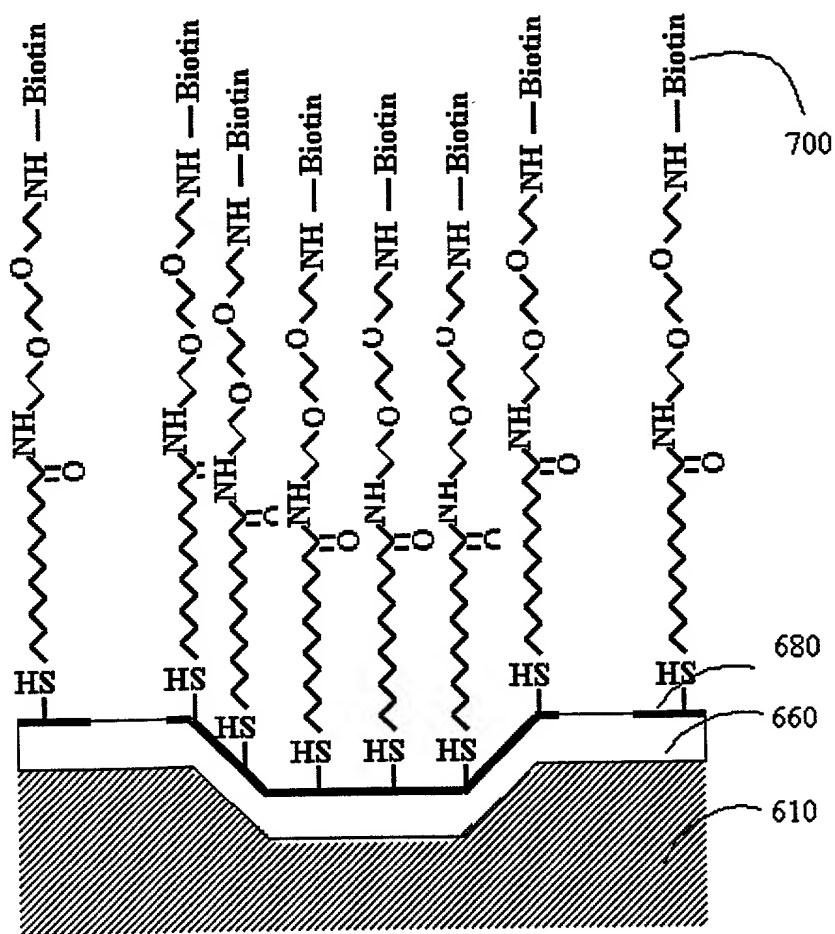


Fig. 20

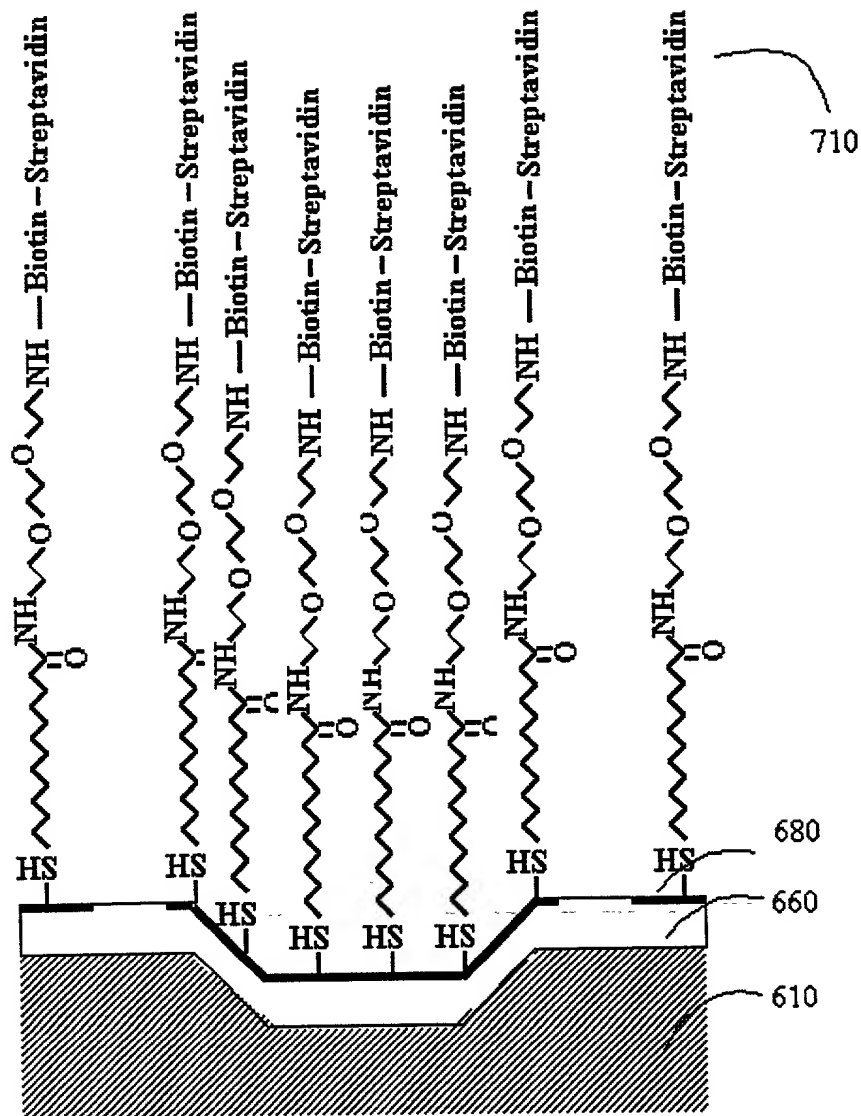


Fig. 21

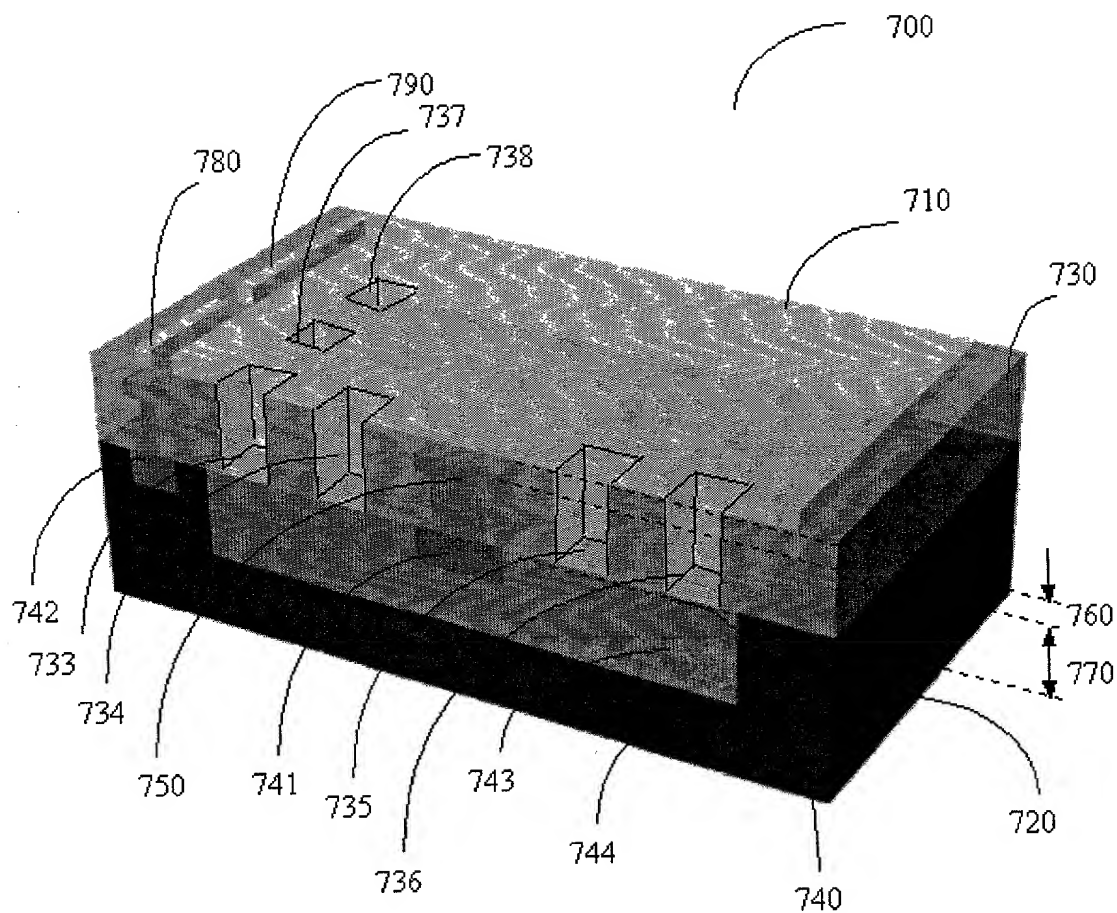


Fig. 22

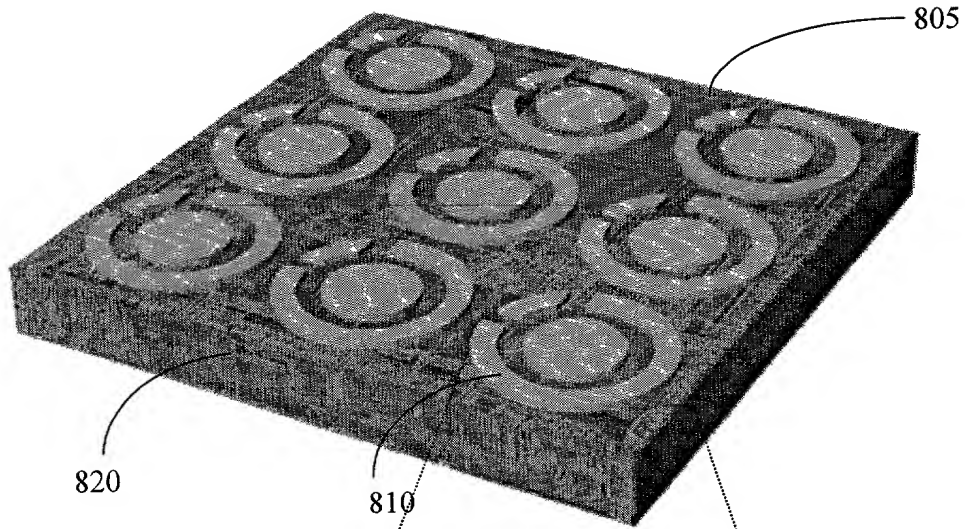


Fig. 23

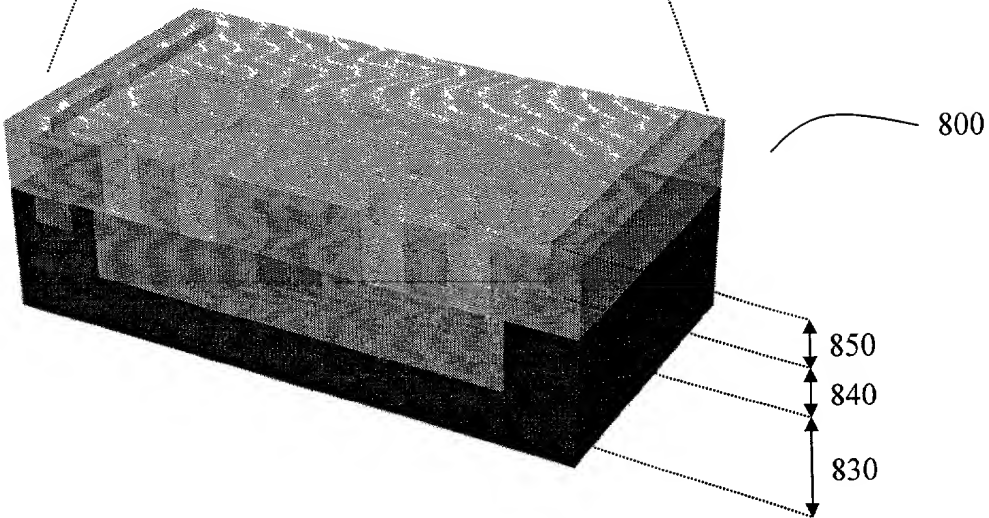


Fig. 24

Page 15 of 19

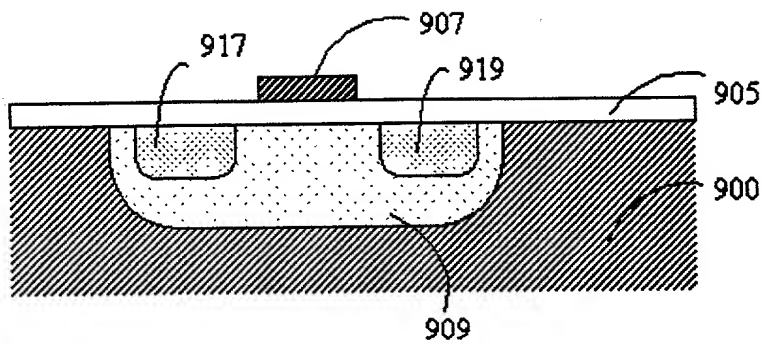


Fig. 25

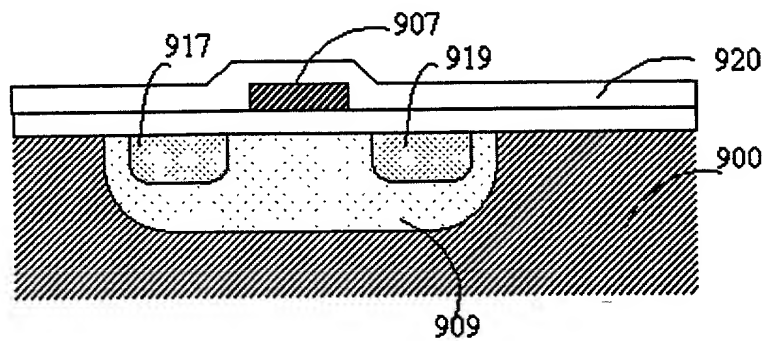


Fig. 26

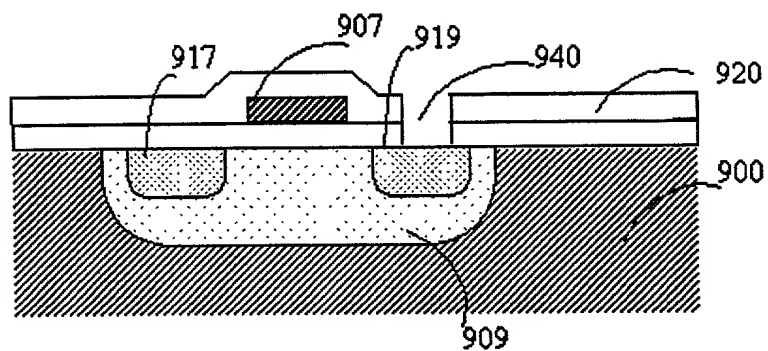


Fig. 27

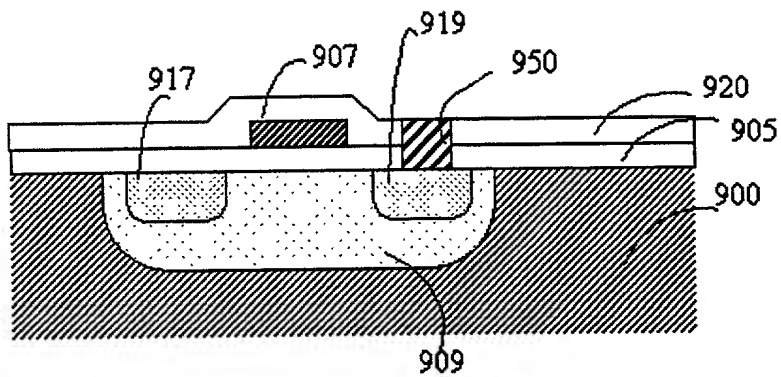


Fig. 28

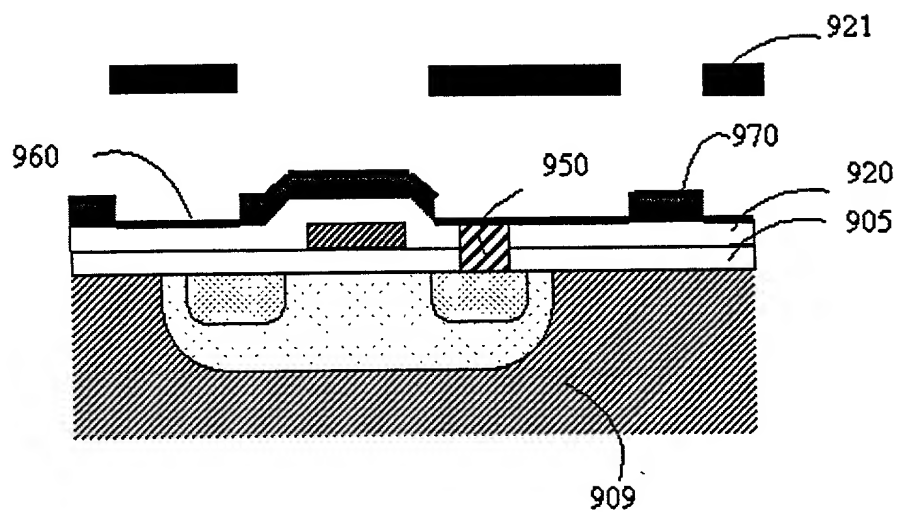


Fig. 29

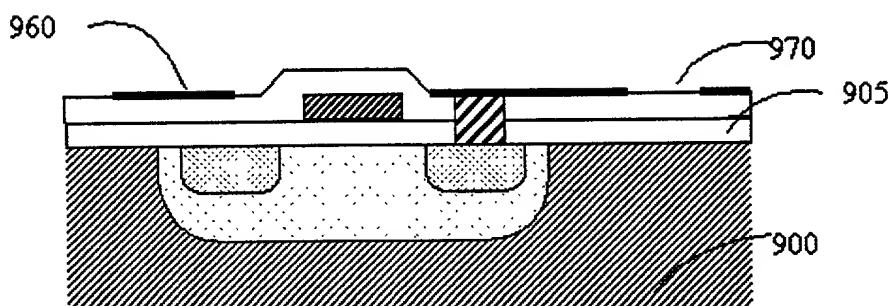


Fig. 30

FIG. 28



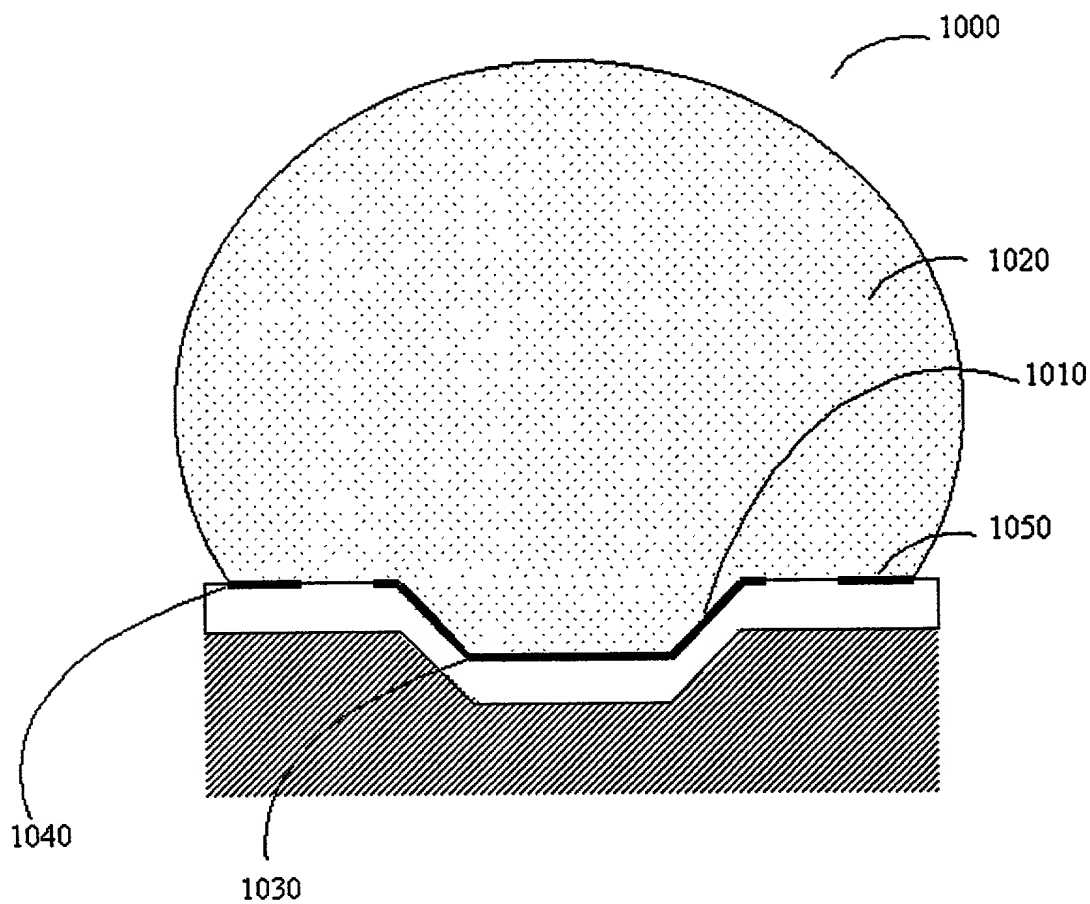


Fig. 31

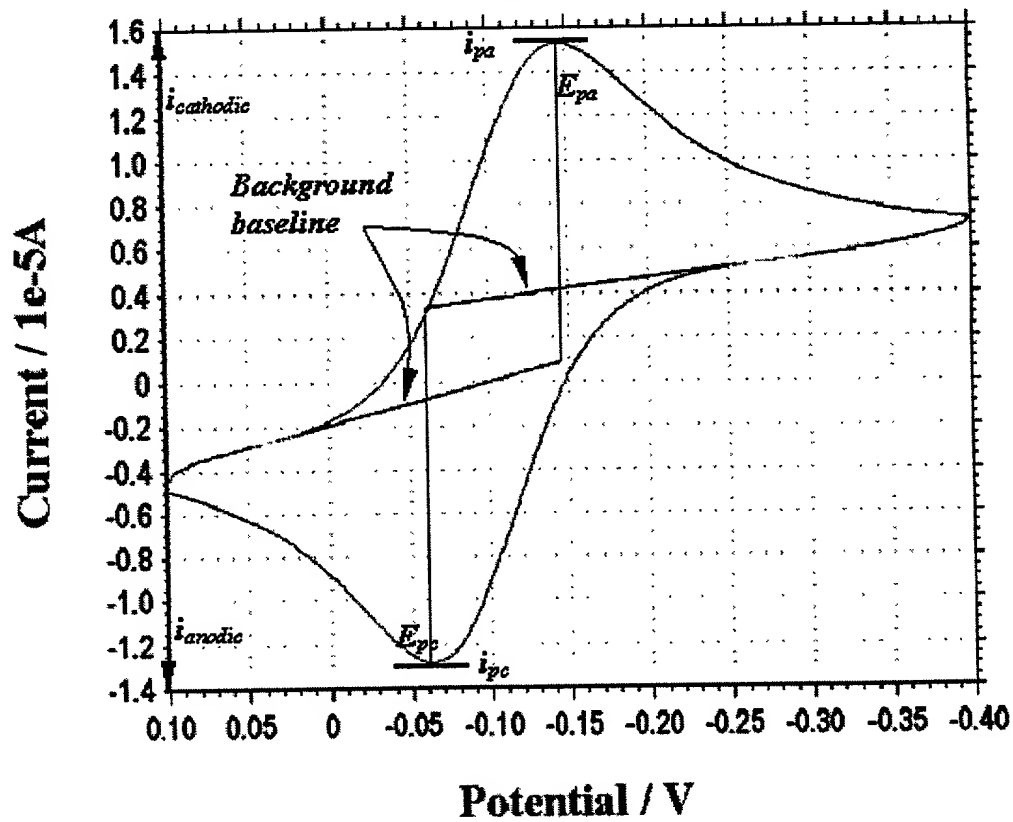


Fig. 32

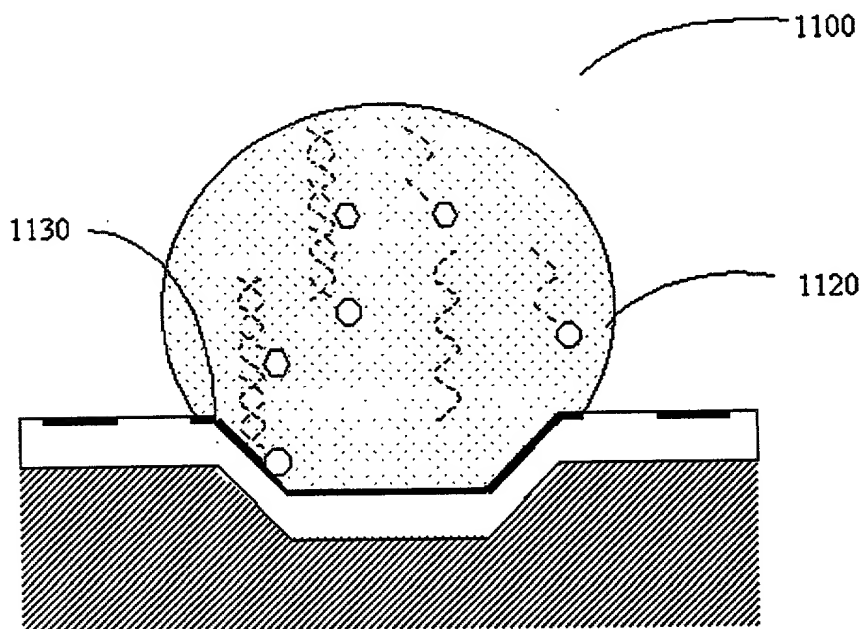


Fig. 33

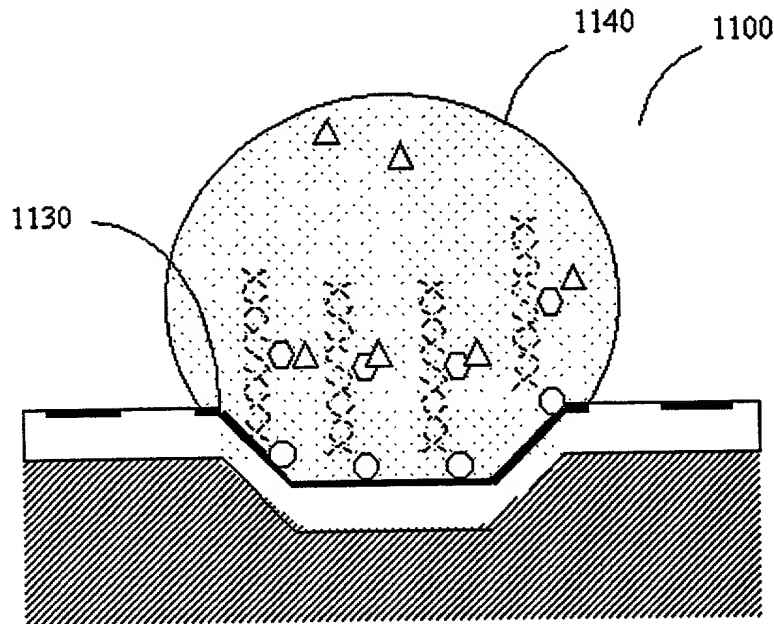


Fig. 34

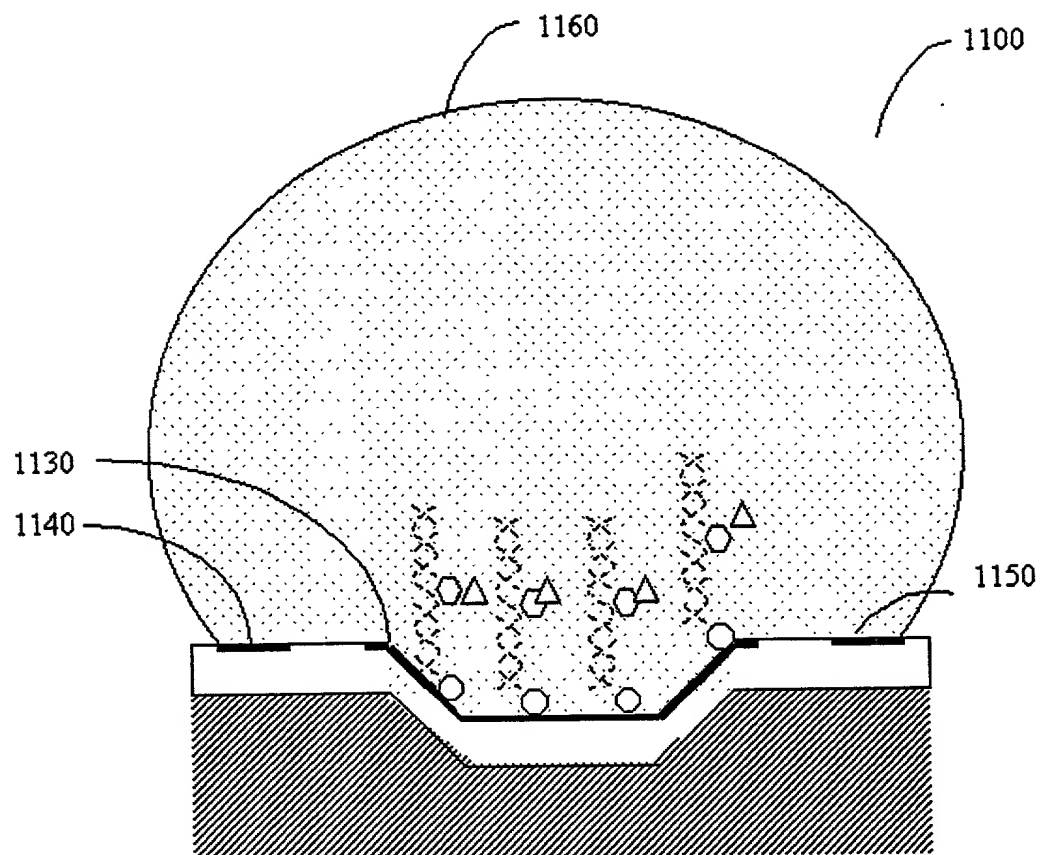


Fig. 35

264/029 19 of 19